

九州大学 工学部 水工土木教室 正員 上田年比古  
九州産業大学工学部土木工学科教室 正員 ○崎山 正常

1. まえがき 地表面下ある深さまでは淡水で飽和され、地下深層は塩水で飽和されているような海岸付近の地盤において、上層の淡水を集水溝、暗きよあるいは井戸などへ浸透させて取水すると淡塩境界面はGhyben-Herzbergの法則によつて集水部の直下が最も高い山形状にもり上る。これが上りすぎると取水中に塩水が混入してまで使用できなくなることもありうるので、本報ではこのような地盤の上層淡水を二次元の溝へ浸透させて取水する場合に、下層の塩水が取水中に混入しない条件のもとで、できるだけ効率的な取水ができるよう溝断面が取水量における影響および取水時の淡塩境界面の形状などについての理論解析の結果と数値計算および砂模型による実験によって検討した。なお、本報は昨年度の年次講演会発表にひきつづいて解析に若干の改良を行ない、流れの場の諸量の影響について検討を加えたものである。

2. 解析 ヒリ抜いた流れの場は図-1に示してあるが、解析は次の仮定のもとに行なつてある。すなむち、地盤は一様な透水性砂層であり、地表面は水平で一定水位の淡水で被われている。また下層塩水の流れは無視でき、淡水の浸透は溝に対して対称な二次元の定常流である。塩水が取水中に混入しない条件のもとで、できるだけ多量の淡水を取水するためには図-1に示すように取水によってもり上った淡塩境界面の最高部(0)が溝の底に到達した状態を保つような流れの場を形成せねばよい。座標軸、各部の寸法、記号名などは図-1に示すようにヒリ、速度ポテンシャルを $\Psi$ 、流れの関数を $\psi$ 、複素ポテンシャルを $W$ 、 $x$ および $y$ の負方向の流速を $U$ および $v$ とすれば、二次元ポテンシャル流の基礎理論より

$$U = \frac{\partial \Psi}{\partial x} = \frac{\partial \psi}{\partial y}, \quad V = \frac{\partial \Psi}{\partial y} = -\frac{\partial \psi}{\partial x}$$

$$W = \Psi + i\psi$$

次に、流れの場の任意處における圧力を $p$ とし、地盤の透水係数を $k$ とすればDarcyの法則より

$$U = k \frac{\partial p}{\partial x} \left( \frac{p}{k} + y \right), \quad V = k \frac{\partial p}{\partial y} \left( \frac{p}{k} + y \right)$$

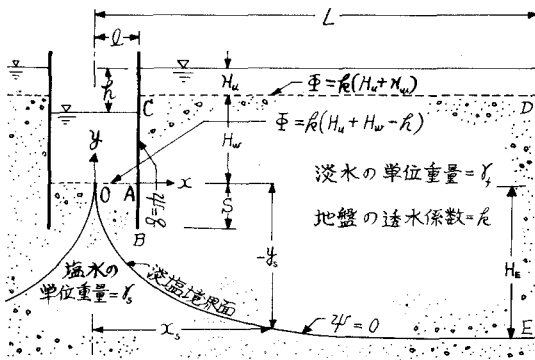
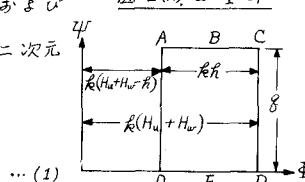
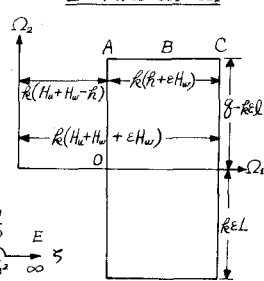
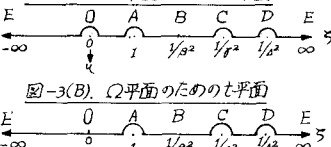
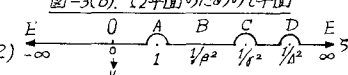


表-1. 境界条件

\*印を付したものはconst.

$Z = x + iy$		$W = \Psi + i\psi$	$\Omega = \Omega_1 + i\Omega_2$
$x$	$y$	$\Psi$	$\Omega_1$
OA	* 0	* $K(H_u + H_w - P)$	$\Omega_2$
ABC	* $L$	$\Psi$	* $K(H_u + H_w - P)$
CD	$x$	* $K(H_u + H_w)$	* $8 - KEL$
DE	* $L$	$\Psi$	$\Omega_2$
EO	$x_s$	$\Psi_s$	* $0$
			* $K(H_u + H_w - P)$

図-2(A).  $W = \Psi + i\psi$ 図-3(A).  $\Omega = \Omega_1 + i\Omega_2$ 図-2(B).  $W$ 平面のための $\Omega$ 平面図-3(B).  $\Omega$ 平面のための $W$ 平面

(1) および(2)より

$$\text{重} = \rho \left( \frac{P}{\rho g} + y \right) \quad \dots (3)$$

次に、淡塩境界面における諸量に添字 s を付してあらわすと、まず、圧力  $P_s$  は

$$P_s = \rho_s (H_u + H_w - \rho_s g) - \rho_s g \quad \dots (4)$$

これを式(3)に代入すると淡塩境界面の速度ボテンシヤル  $\psi_s$  は

$$\text{重}_s = \rho_s (H_u + H_w - \rho_s g) - \rho_s g \psi_s \quad \dots (5)$$

ただし  $\psi_s = (L_s - Y_s)/\rho_s$

であらわされる。上式(5)にヒントをえて Zhukovsky 間 S および  $P_s$  を与えると条件式(10)～(12)における無次元化を行なうと

$$\begin{aligned} \Omega_1 &= \text{重} + \rho_s g \psi_s, \quad \Omega_2 = L_s - \rho_s g \psi_s \\ \Omega &= \Omega_1 + i \Omega_2 = W - i \rho_s g \psi_s, \quad Z = X + i Y \end{aligned} \quad \dots (7)$$

なる解析関数  $\Omega$  がえられる。流れの場の区、W および  $\Omega$  平面を画けば図-2(A)

および図-3(A)がえられ、これらの面上の特異点の値を  $\infty$  で平面上では図-2(B)および図-3(B)のように

これによって  $W$  および  $\Omega$  平面を画けば図-2(A)およ

び図-3(A)がえられ、これらの面上の特異点の値を  $\infty$  で平面上では図-2(B)および図-3(B)のように

$$W = -N \int \frac{dt}{\sqrt{(-t) \sqrt{(1-t)} \sqrt{(Y_s - t)} \sqrt{(Y_w - t)}}} \quad \dots (8)$$

$$\Omega = iM \int \frac{dt}{\sqrt{(1-t)} \sqrt{(Y_s - t)} \sqrt{(Y_w - t)}} \quad \dots (9)$$

なる積分積分で関係づけることができる。これらの平面上の特異点 B, C および D に対応する平面の実軸上の値  $\frac{Y_s}{\rho_s^2}$ ,  $\frac{Y_w}{\rho_s^2}$  および  $\frac{L_s}{\rho_s^2}$  と、式(8)および(9)

の N および M の値は  $W$  および  $\Omega$  平面の境界条件によって決定される定数であるが、N および M は式(8)および(9)の解説過程における無次元化によって消去できるので、基本的未定数である  $\beta^2$ ,  $\beta^2$  および  $\beta^2$  の値を決定するための条件式のみをあげると次のようになる。すなはち、

$$\beta^2 = \gamma^2 \left\{ \left( 1 + \varepsilon \frac{H_w}{\rho_s} \right) \cdot \frac{K(\frac{Y_s}{\rho_s^2})}{K(\frac{Y_w}{\rho_s^2})} \right\}^2 \quad \dots (10)$$

$$\varepsilon \frac{L_s}{\rho_s} = \left( 1 + \varepsilon \frac{H_w}{\rho_s} \right) \left\{ \frac{K(\frac{Y_s^2 - L_s^2}{\rho_s^2 \gamma^2}) - F(\frac{Y_s^2 - L_s^2}{\rho_s^2 \gamma^2}, \theta_0)}{K(\frac{Y_w^2}{\rho_s^2 \gamma^2})} \right\} \quad \dots (11)$$

$$\varepsilon \frac{S}{\rho} = \frac{F(\frac{Y_s}{\rho_s^2}, \theta_0)}{K(\frac{Y_s}{\rho_s^2})} - \left( 1 + \varepsilon \frac{H_w}{\rho_s} \right) \left\{ 1 - \frac{F(\frac{Y_w}{\rho_s^2}, \theta_0)}{K(\frac{Y_w}{\rho_s^2})} \right\} \quad \dots (12)$$

ここで  $\gamma^2 = 1 - \beta^2$ ,  $\gamma^2 = 1 - \gamma^2$ ,  $\gamma^2 = 1 - \beta^2$

$$\theta_0 = \sin^{-1}(\gamma), \quad \theta_1 = \sin^{-1}\left(\frac{\rho_s}{\gamma}\right), \quad \theta_2 = \sin^{-1}\frac{\beta^2}{\gamma} \sqrt{\frac{Y_s^2 - L_s^2}{Y_w^2}}$$

であり、 $F(\frac{Y_s}{\rho_s^2}, \theta)$  および  $K(\frac{Y_s}{\rho_s^2})$  などの関数記号は

これと式(3)に代入すると淡塩境界面の速度ボテンシヤル  $\psi_s$  を母数とする第一種積分積分および第一種完全

ヤル  $\psi_s$  は  $\psi_s = (L_s - Y_s)/\rho_s$  である。図-1 の流れの場においても、お

よび  $\psi_s$  を与えると式(6)より  $\psi$  が決まり、 $H_w$ ,  $L$ ,

である。上式(5)にヒントをえて Zhukovsky 間 S および  $P_s$  を与えると条件式(10)～(12)における無次

元量  $\varepsilon H_w/\rho_s$ ,  $\varepsilon L/\rho_s$  および  $\varepsilon S/\rho_s$  が決まりから条件

式(10)～(12)を連立に解けば基本的未定数  $\beta^2$ ,  $\beta^2$  および  $\beta^2$  の値が求められる。したがって図-1 に示

$$\varepsilon \frac{L}{\rho_s} = \frac{K(\frac{Y_s^2 - L_s^2}{\rho_s^2 \gamma^2})}{K(\frac{Y_s}{\rho_s^2})} - \left( 1 + \varepsilon \frac{H_w}{\rho_s} \right) \cdot \frac{F(\frac{Y_s^2 - L_s^2}{\rho_s^2 \gamma^2}, \theta_0)}{K(\frac{Y_w}{\rho_s^2})} \quad \dots (13)$$

から  $\varepsilon L/\rho_s$  の値がえられる。また、取水量  $Q$  は透水係数  $k$  が既知ならば

$$\frac{Q}{k} = \varepsilon \frac{(D_s k e)}{\rho_s} = \frac{K(\frac{Y_s}{\rho_s^2})}{K(\frac{Y_s}{\rho_s^2})} \quad \dots (14)$$

からえられる。次に、淡塩境界面の曲線式は

$$\begin{aligned} -\infty &\leq Y_s \leq 0 \\ \sin \theta_0 &= \sqrt{\frac{1 - \frac{Y_s}{\rho_s^2}}{1 - \frac{Y_s^2}{\rho_s^2}}} \quad , \quad \sin \theta_1 = \sqrt{\frac{1 - \frac{Y_w}{\rho_s^2}}{1 - \frac{Y_w^2}{\rho_s^2}}} \\ \varepsilon \frac{Y_s}{\rho_s} &= \varepsilon \frac{L}{\rho_s} - \left( 1 + \varepsilon \frac{H_w}{\rho_s} \right) \left\{ \frac{K(\frac{Y_s^2 - L_s^2}{\rho_s^2 \gamma^2}) - F(\frac{Y_s^2 - L_s^2}{\rho_s^2 \gamma^2}, \theta_0)}{K(\frac{Y_w}{\rho_s^2})} \right\} \quad \dots (15) \\ \varepsilon \frac{Y_s}{\rho_s} &= - \frac{F(\frac{Y_s}{\rho_s^2}, \theta_0)}{K(\frac{Y_s}{\rho_s^2})} \end{aligned}$$

がえられる。とくに、E 点の  $Y_s$  の値を  $Y_s = -H_w$  とおくと  $\varepsilon \frac{H_w}{\rho_s} = F(\frac{Y_s}{\rho_s^2}, \theta_0)/K(\frac{Y_s}{\rho_s^2})$  ただし  $\theta_0 = \sin^{-1} \gamma$   $\dots (16)$

次に、特別な場合として  $L$  が  $H_w$  および  $S$  に比べて非常に大きいとき、すなはち、 $L$  を無限大とみ

て非常に大きくなるとき、すなはち、 $L$  を無限大とみ

$\beta^2 \rightarrow \infty$  すなわち  $\alpha^2 = 0$ ,  $\beta^2 = 1$  とすれば式(11)は不要

となり、条件式(10)～(12)は

$$\beta^2 = \gamma^2 \left\{ \left( 1 + \varepsilon \frac{H_w}{R} \right) \cdot \frac{2}{\pi} \cdot K(\gamma') \right\}^2 \quad \dots (17)$$

$$\varepsilon \frac{S}{R} = \frac{H(\gamma', \theta_0)}{K(\gamma')} - \left( 1 + \varepsilon \frac{H_w}{R} \right) \cdot \frac{2}{\pi} \cdot \tan^{-1}(\theta_0) \quad \dots (18)$$

$$\text{ただし } \theta_0 = \sqrt{\frac{2\beta^2}{\beta^2 - \gamma^2}}$$

となる。すなわち、この場合には与えられた  $\varepsilon H_w/R$  および  $\varepsilon S/R$  に対して式(17)および(18)を連立に解けば基本的未知定数  $\beta^2$  および  $\gamma^2$  の値が求められる。

次に、溝幅に関する式(13)は

$$\varepsilon \frac{L}{R} = \frac{K(\gamma)}{K(\gamma')} - \left( 1 + \varepsilon \frac{H_w}{R} \right) \cdot \frac{2}{\pi} \cdot \tanh^{-1}(\gamma) \quad \dots (19)$$

となり、取水量  $\gamma$  に対する式(14)は

$$\frac{\gamma}{R} = \varepsilon \frac{(R/e)}{R} = \frac{K(\gamma)}{K(\gamma')} \quad \dots (20)$$

となる。また、淡塩界面の曲線式(15)は

$$-\infty < \theta_0 \leq 0$$

$$\begin{aligned} \theta_0 &= \delta \sqrt{\frac{1 - S_0}{1 - \delta^2 S_0}}, \quad \sin \theta_0 = \sqrt{\frac{-S_0}{1 - S_0}} \\ \varepsilon \frac{X_0}{R} &= \varepsilon \frac{L}{R} - \frac{K(\gamma)}{K(\gamma')} + \left( 1 + \varepsilon \frac{H_w}{R} \right) \cdot \frac{2}{\pi} \cdot \tanh^{-1}(\theta_0) \\ \varepsilon \frac{Y_0}{R} &= -F(\gamma', \theta_0)/K(\gamma') \end{aligned} \quad \dots (21)$$

となる。この場合のE実の  $\gamma$  の値  $\gamma_0 = -H_0$  に対して式

(21)の末式は

$$\varepsilon \frac{H_0}{R} = 1.0 \quad \dots (22)$$

となり、これはE実における静水力学的なつり合いをあらわしており、このことは解析結果の妥当性を示す一事項になる。

### 3. 数値計算および実験

以上の解析結果を検討するために流れの場の各部の寸法を種々に設定して、これに対する数値計算を行なう。数種のものに対する砂模型による実験を行なった。この結果の一部を図-4、図-5および写真に示している。図-4について若干の考察を加

えると

#### 1. $\varepsilon H_w/R$ について

$\varepsilon H_w/R$  および  $\varepsilon L/R$  を一定にするとき  $\varepsilon S/R$  が小さくなると  $\varepsilon L/R$  が大きくなる。これは  $\varepsilon L/R$  が大きくなると急激に小さくなる。

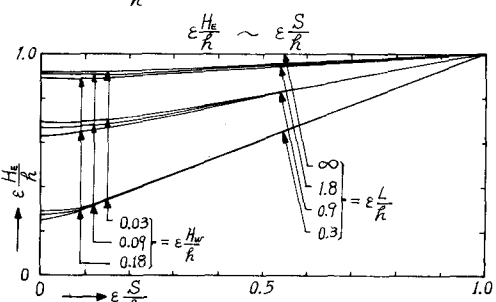
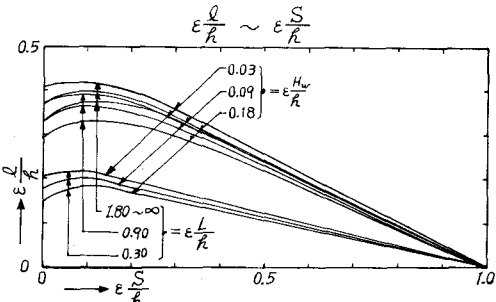
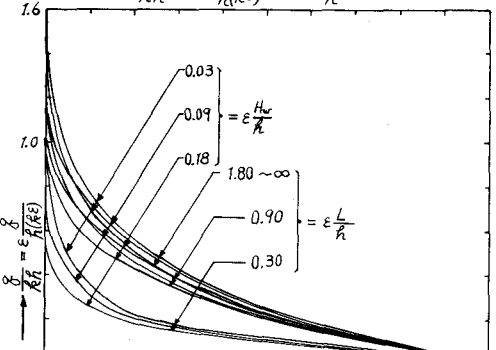
$\varepsilon H_w/R$  および  $\varepsilon S/R$  を一定にするとき  $\varepsilon L/R$  が小さくなる。

$\varepsilon H_w/R$  および  $\varepsilon S/R$  を一定にするとき  $\varepsilon L/R$  が大きくなるが  $\varepsilon L/R$  が大きくなると急激に大きくなる。

がほぼ1.8をこえるとそれ以上大きくなつてもほとんど

図-4. 数値計算結果

$$\frac{\gamma}{R} = \varepsilon \frac{H_w}{R} \sim \varepsilon \frac{S}{R}$$



ど変わらない。すなわち  $\varepsilon L/R > 1.8$  では  $\varepsilon L/R$  を  $\infty$  にしても流量に対するほとんどの差がなくなる。また、

$\varepsilon H_w/R$  および  $\varepsilon S/R$  を一定にすると  $\varepsilon L/R$  が大きくなると徐々に小さくなる。

#### 2. $\varepsilon L/R$ について

$\varepsilon H_w/R$  および  $\varepsilon S/R$  を一定にするとほぼ  $0 < \varepsilon L/R < 0.2$  ではほとんどの変化しないが、 $\varepsilon L/R = 0.1$  のところでは最大値をとり、 $\varepsilon L/R > 0.1$  のところでは  $\varepsilon L/R$  が大きくなるにつれてほぼ直線的に小さくなる。

$\varepsilon H_w/R$  および  $\varepsilon S/R$  を一定にすると  $\varepsilon L/R$  が小さいところでは  $\varepsilon L/R$  が大きくなると急激に大きくなるが  $\varepsilon L/R$  がほぼ 1.8 をこすとそれ以上大きくなつてもほとんど変らない。すなゆち、ほぼ  $\varepsilon L/R > 1.8$  のところでは  $\varepsilon L/R$  を無限大とみなしても流れの場を保つ所要の溝幅にはほとんど影響はない。次に、 $\varepsilon H_w/R$  および  $\varepsilon S/R$  を一定にすると  $\varepsilon H_w/R$  が大きくなると徐々に小さくなる。

### 3. $\varepsilon H_w/R$ について

$\varepsilon H_w/R$  および  $\varepsilon S/R$  を一定にするとほぼ  $0 < \varepsilon S/R < 0.1$  では  $\varepsilon H_w/R$  が大きくなつてもほとんど大きくならないが、ほぼ  $\varepsilon S/R > 0.1$  では  $\varepsilon H_w/R$  が大きくなると、ほぼ直線的に大きくなる。

$\varepsilon H_w/R$  および  $\varepsilon S/R$  を一定にすると  $\varepsilon L/R$  が小さいところでは急激に大きくなるが、ほぼ  $\varepsilon L/R > 1.8$  のところでは  $\varepsilon L/R$  が大きくなつてもほとんど大きくならない。

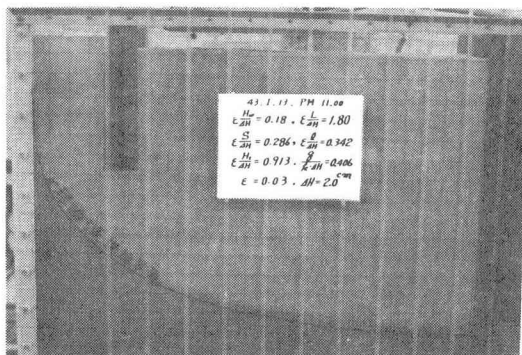
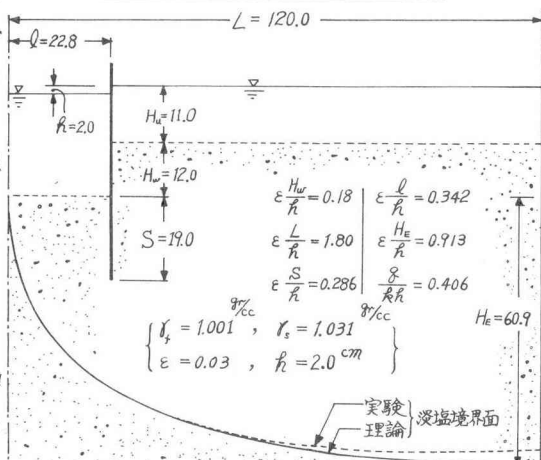
$\varepsilon L/R$  および  $\varepsilon S/R$  を一定にすると  $\varepsilon H_w/R$  が大きくなると若干小さくなる。

以上、図-4 の結果は妥当な結果であるが、さらに図-5 には数種の模型断面について行なった砂模型による実験結果のうちの一例を示している。これによると、浸塩境界面の曲線は理論曲線と実験曲線とがほぼ一致してあり、なあ、式(14)に実測の  $\beta$  を適用して逆算した透水係数  $\kappa$  の値が各実験の場合ともほぼ一定値(実験に用いた粗目砂ばり  $\varepsilon H_w/R$ ,  $\varepsilon L/R$  および  $\varepsilon S/R$  のある一組が与えられたに対して  $\kappa = 0.35 \text{ cm/sec}$ )となることから理論が妥当であることがわかる。写真は図-5 の実験に対するもので、過マンガン酸カリウムの溶液で着色された下層塩水部分と無色の上層淡水部分の明暗の差で浸塩境界面の曲線は理論と実験とがほぼ一致していることが認められよう。

### 4. むすび

以上、本解析の結果を示された理論値を砂模型による実験値と照合して理論の妥当性を裏付けることができたが、流れの場の  $\varepsilon H_w/R$ ,  $\varepsilon L/R$  および

図-5. 模型実験(寸法単位…cm)



$\varepsilon S/R$  の値が与えられたとき、これらに対する基本的未定数  $\beta^2$ ,  $\beta^2$  および  $A^2$  の決定にはその過程に若干の試算をともない、やゝ、めんどうである。しかし、所要の第一種積分の閾数表さえととのへておけば、このに対する一連の数値計算は手計算による場合でも数時間程度でえられるのでさほど困難ではない。海岸付近の都市において飲料水あるいは工業用水の不足が頻発しているときに、本報が海岸付近の地下淡水の利用計画に対して資料の一端にでも加えられるなら幸いである。最後に本研究を手伝つてもらつた松山達二(山口県土木部), 井上芳明(大分県土木部), 藤好紹一郎(大阪府建設部)の三氏に感謝申上げる。なお、本研究には九州産業大学特別研究費の援助を受けた。併記して謝意を表する。